

# Calibración de transformadores de corriente

Daniel Slomovitz

Instituto de Ingeniería Eléctrica

Facultad de Ingeniería

UNIVERSIDAD DE LA REPÚBLICA

2021

# Método Diferencial

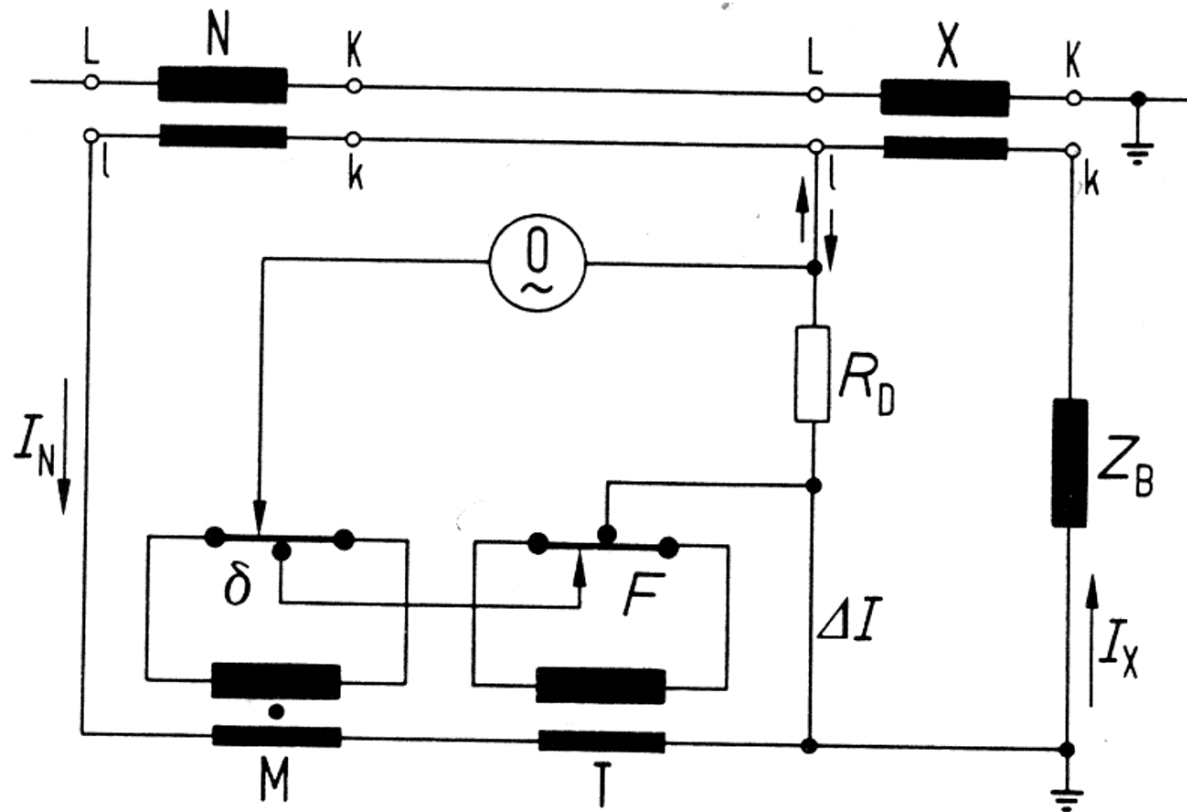
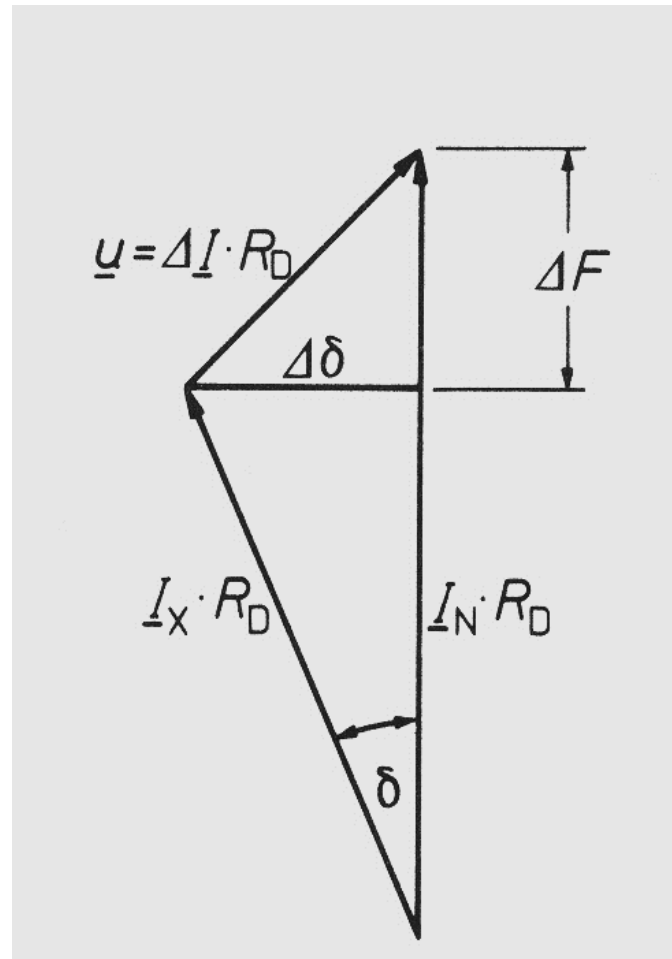


Fig. 11

# Diagrama Vectorial



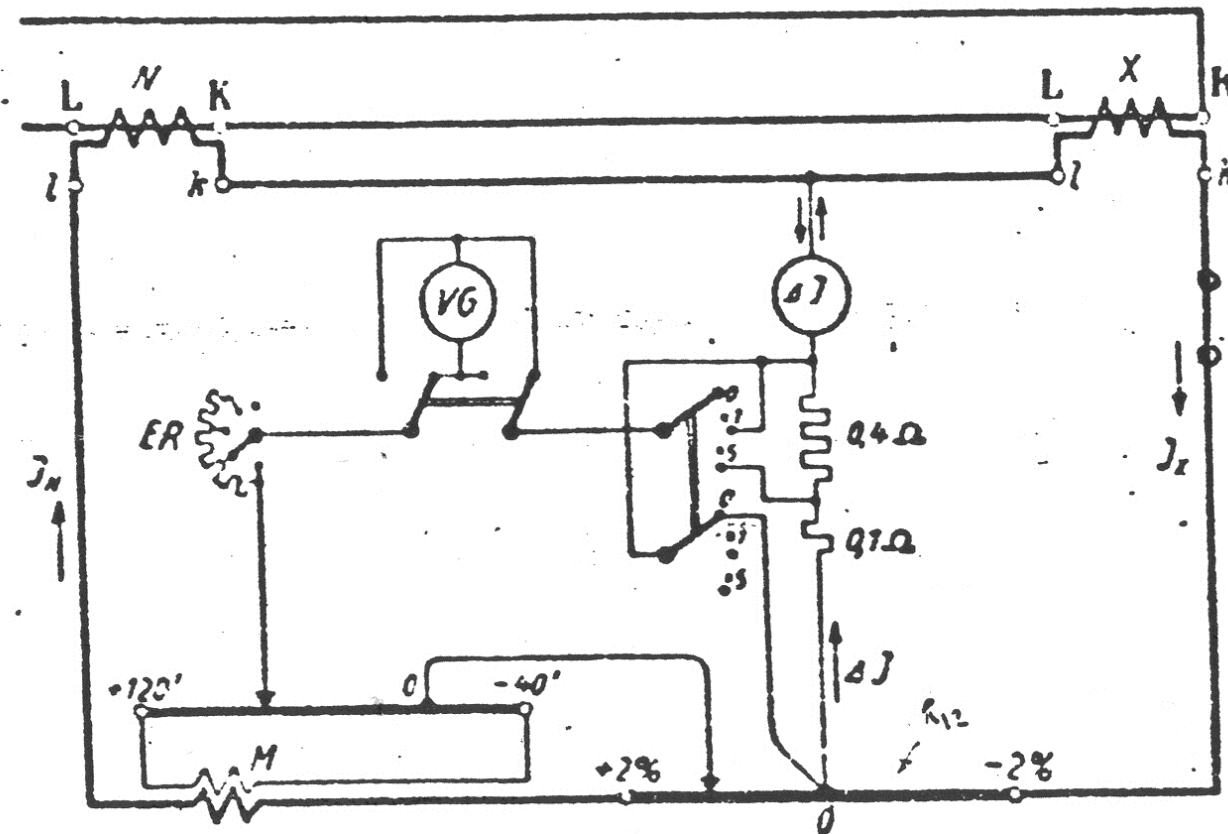
# Puente diferencial

## Laboratorio de UTE



# Puente diferencial

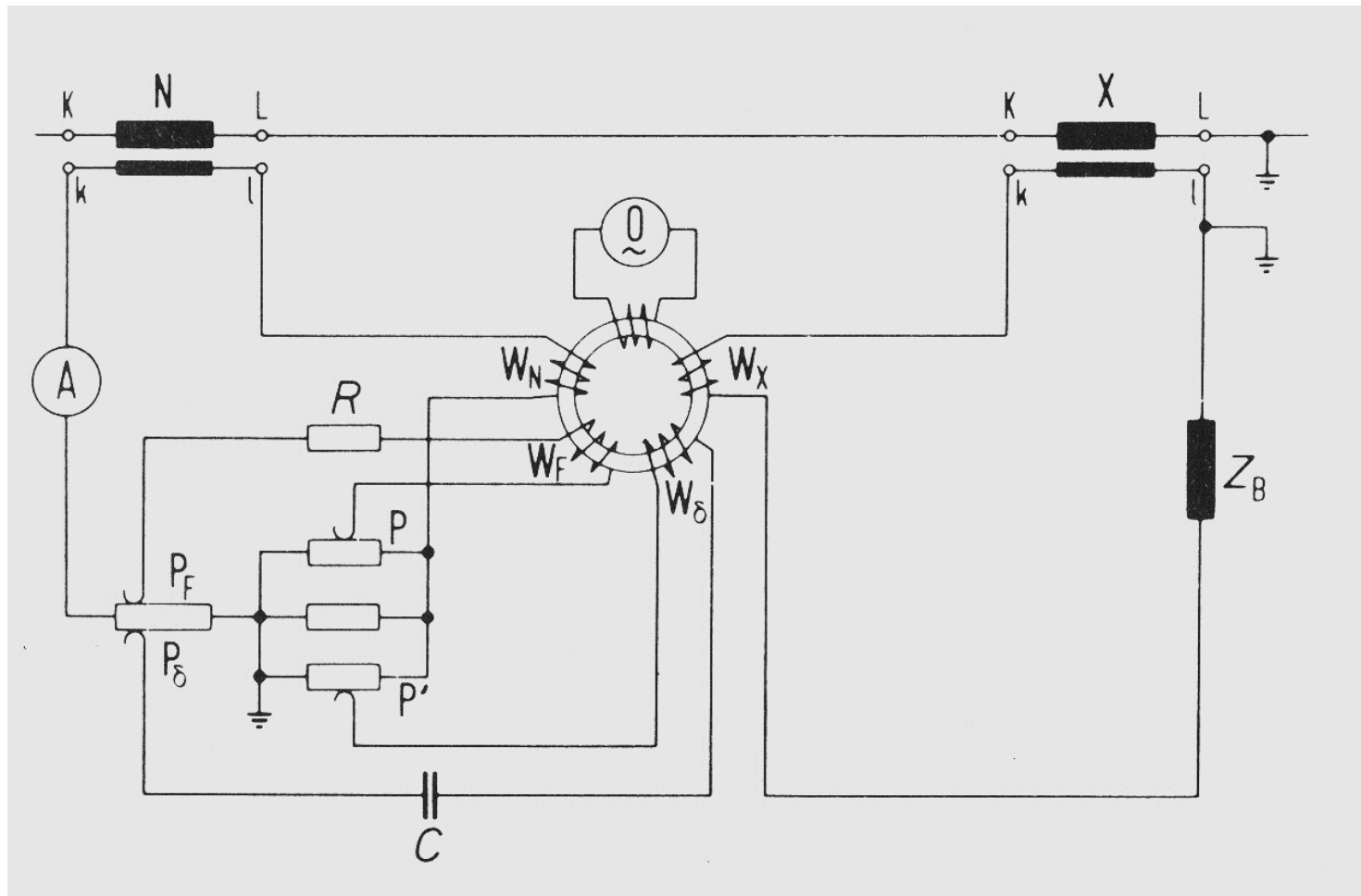
## Laboratorio de UTE



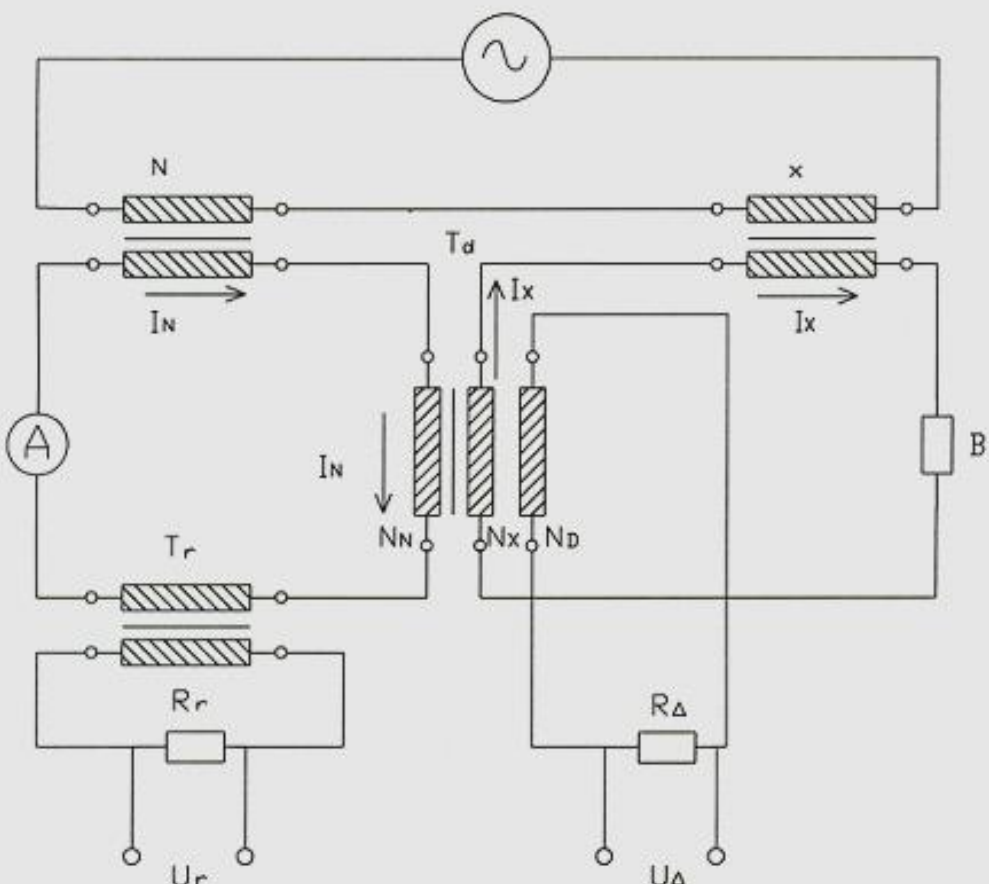
# Galvanómetro electrónico



# Método con transformador comparador de corriente



# Comparador de corriente sin realimentación



$$N_x = N_n \quad I_n ; \quad I_x : 5A$$

$$N_x = 5 \quad N_n \quad I_n = 5A \quad I_x = 1A$$

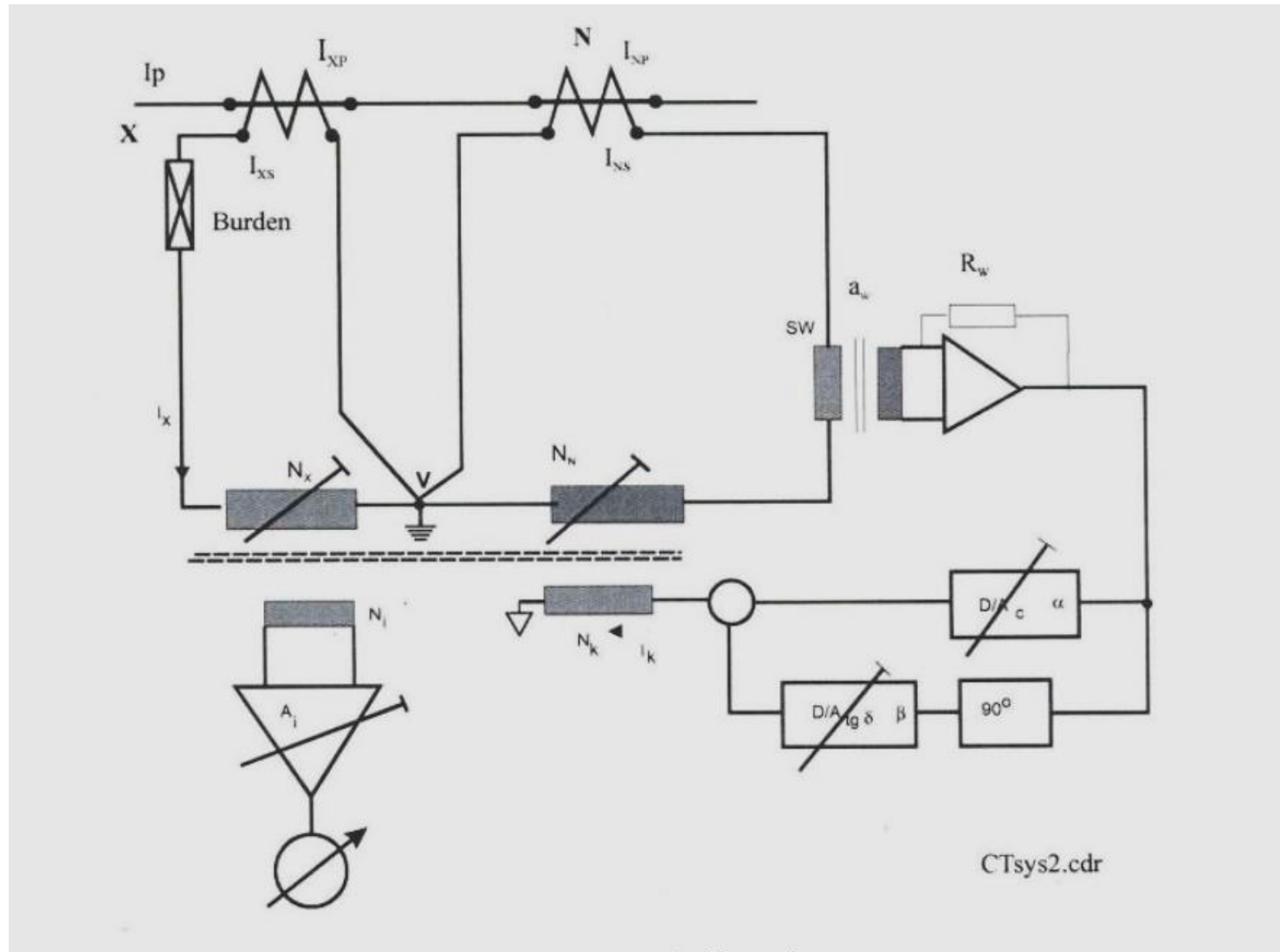
$U_r$ : tensión proporcional a  $I_n$

$U_d$ : tensión proporcional a  $I_x/I_n$

Error: proporcional a  $U_d/U_r$

Ambas tensiones medidas como fasores (magnitud y fase).

# Comparador de corriente con realimentación

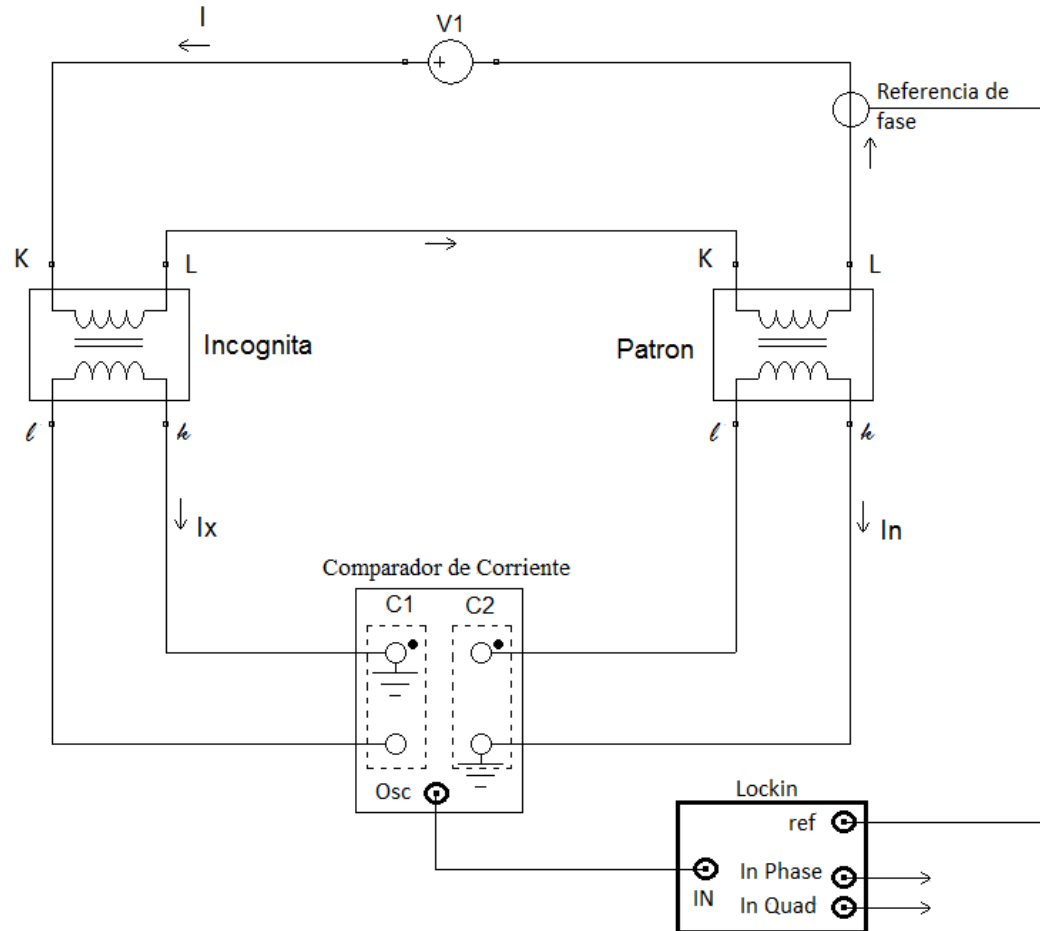


CTsys2.cdr

# Comparador de corriente automático



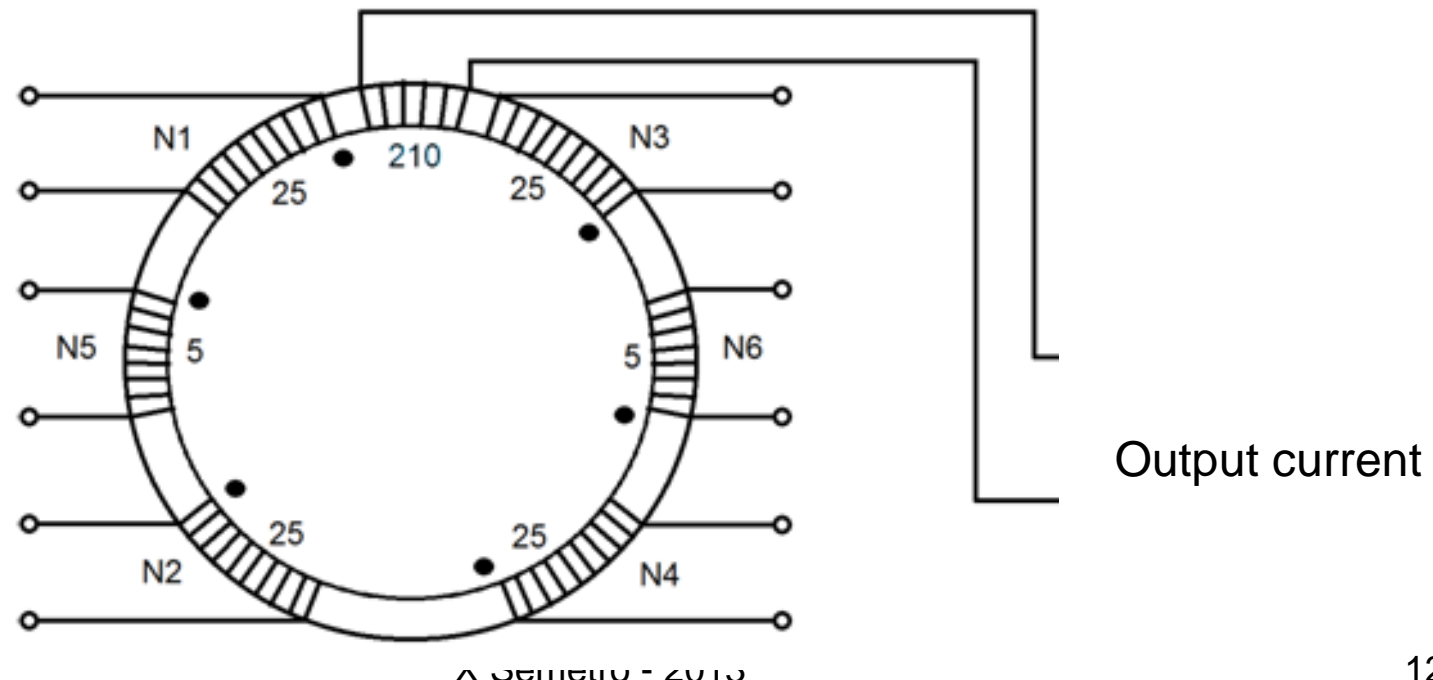
# Comparador de corriente sin realimentación



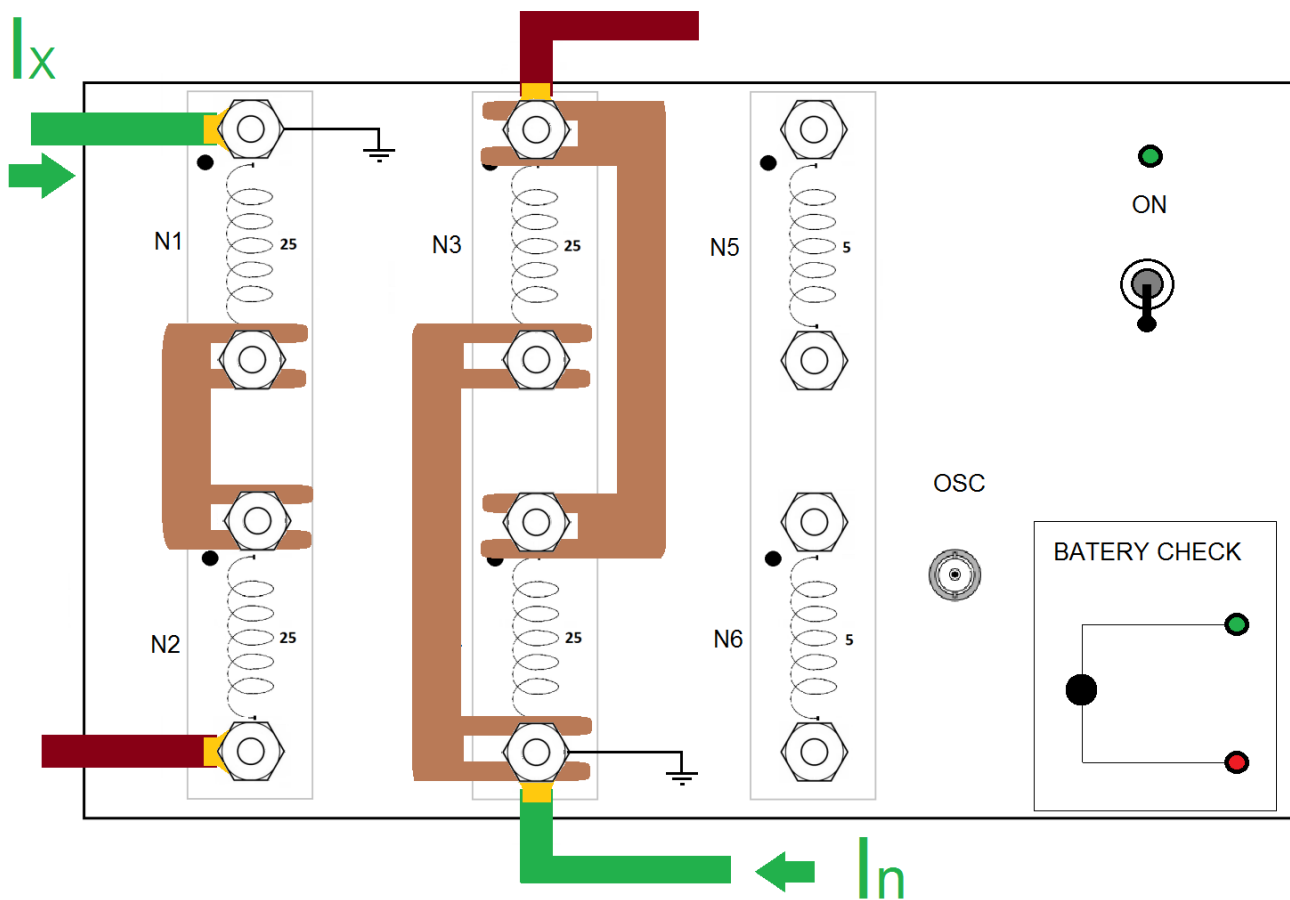
High-Precision Current Comparator for Current Transformer Calibrations, Daniel Slomovitz,  
Gonzalo Aristoy , Leonardo Trigo, Alejandro Santos, X SEMETRO, 2013.

# Comparador de corriente UTE

- Toroidal mu-metal core with 6 identical primary windings (rope type).
- Each winding: 5 x 5 turns.

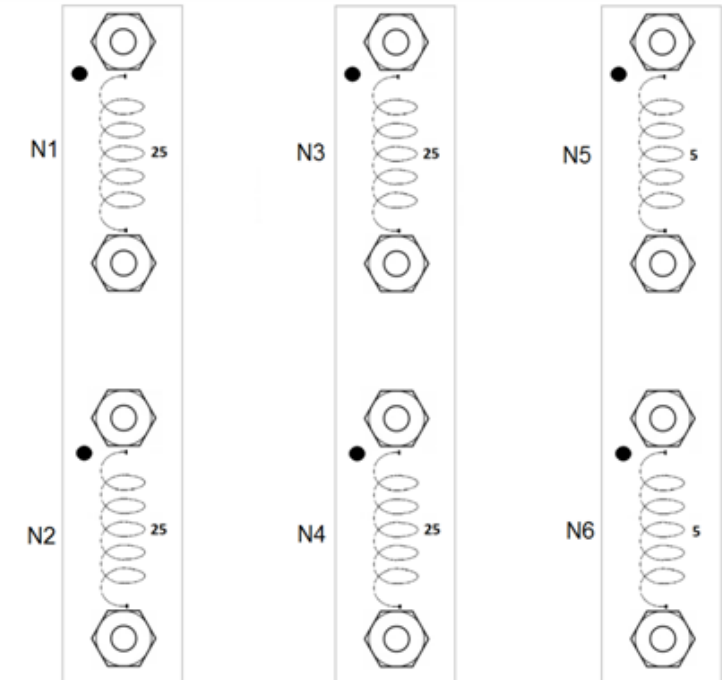


# Series-parallel connections

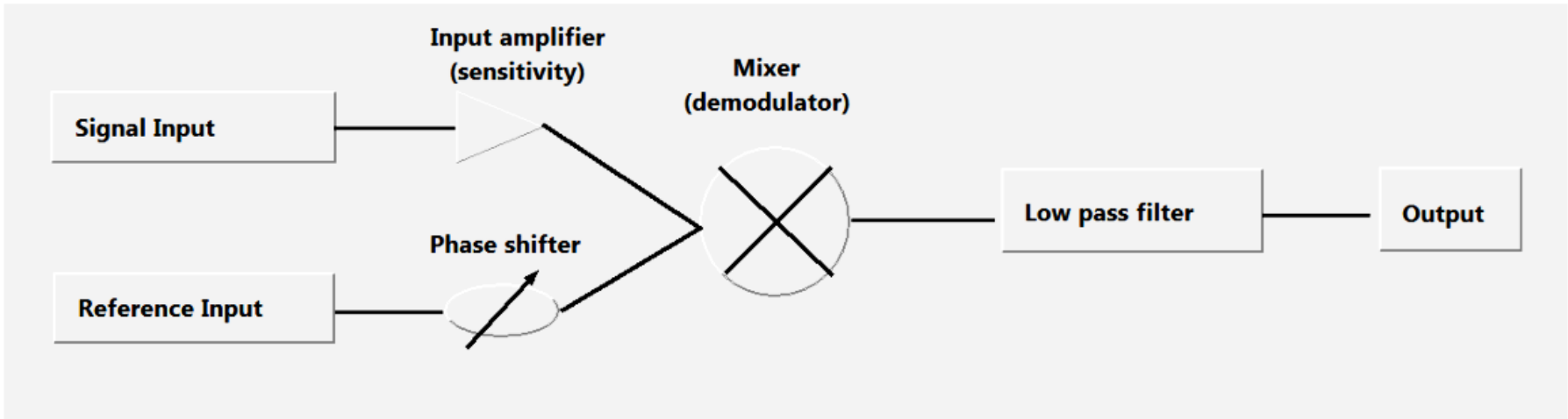


# Ratios

Ratio	s: series, p: parallel	Turns
1	N1 s N2 Vs N3 s N4	50 Vs 50
	N1 p N2 Vs N3 p N4	25 Vs 25
2	N1 s N2 Vs N3 p N4	50 Vs 25
	N1 p N2 Vs N3 s N4	25 Vs 50
2.5	N1 p N2 Vs N5 s N6	25 Vs 10
	N3 p N4 Vs N5 s N6	25 Vs 10
5	N1 p N2 Vs N5 p N6	25 Vs 5
	N3 p N4 Vs N5 p N6	25 Vs 5
10	N1 s N2 Vs N5 p N6	50 Vs 5
	N3 s N4 Vs N5 p N6	51 Vs 5

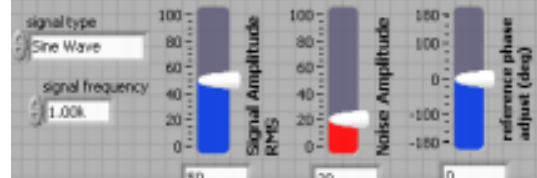
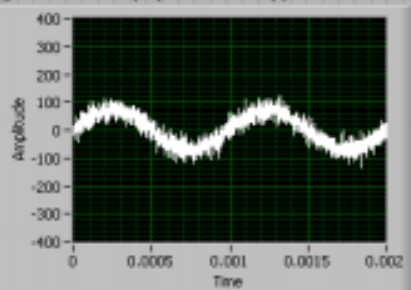


# Amplificador Lock-in

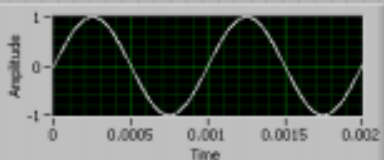


# Amplificador Lock-in

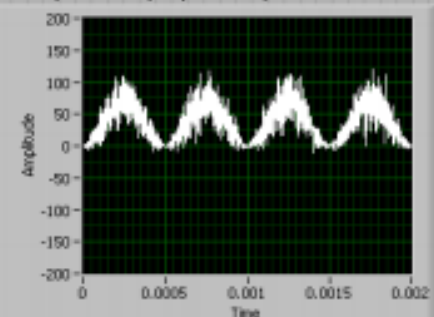
Signal + noise (2 periods only)



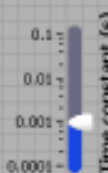
Reference



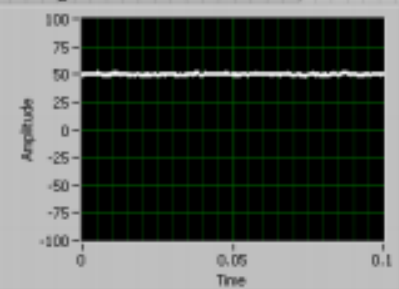
Mixer (Internal, 2 periods)



Low-pass



lockin output (1000 periods)  
RMS Signal X



Note the start at zero has an "artifact" when initialized because the program is not really continuous,

Initialize on start

--and the output time constant's "Integration" starts over every loop of the VI!

--but! This allows you to see the effect of the time constant on a CHANGING signal, change the time constant!

# Amplificador Lock-in

$$V_s = \sum A_k \cdot \sin(k\omega t + \phi_k)$$

$$V_r = B \sin(\omega t)$$

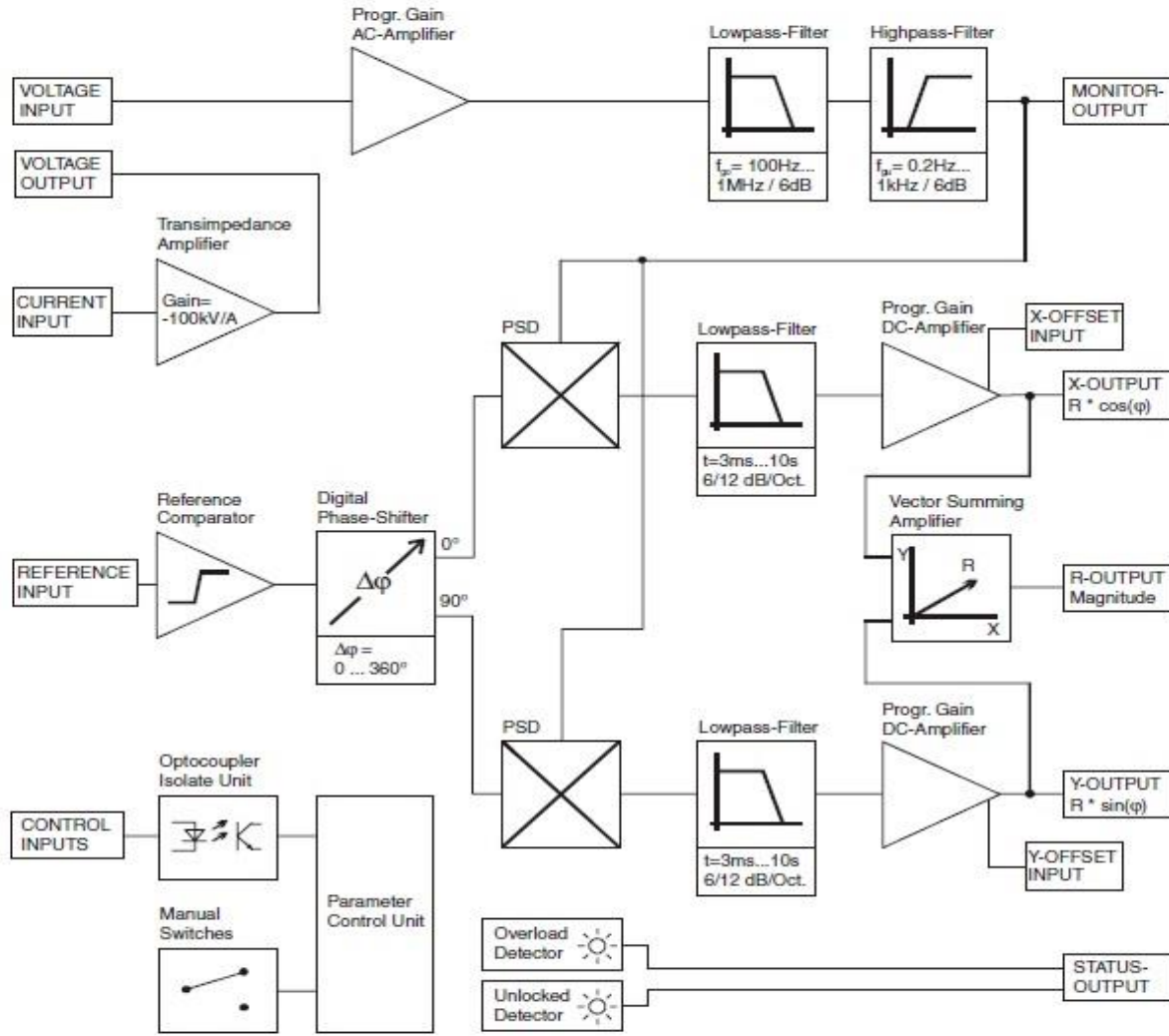
$$\frac{1}{T} \int_0^T V_s \cdot V_r dt = \frac{B}{T} \int_0^T \sin(\omega t) \cdot \sum A_k \sin(k\omega t + \phi_k) dt$$

$$= \frac{B}{T} \int_0^T \sin(\omega t) \underbrace{A_1 \cdot \sin(\omega t + \phi_1)}_{\sin(\omega t) \cos(\phi_1) + \cos(\omega t) \sin(\phi_1)} dt$$

$$= \frac{B}{T} \int_0^T [\sin^2(\omega t) \cos(\phi_1) + \underbrace{\sin(\omega t) \cos(\omega t) \sin(\phi_1)}_{\rightarrow 0}] dt$$

$$= \frac{BA_1}{T} \cos(\phi_1) \underbrace{\int_0^T \sin^2(\omega t) dt}_{1/2} = \frac{BA_1}{2} \cos \phi_1$$

# Amplificador Lock-in comercial



# Uncertainty budget

Factor	Contribution $\times 10^{-6}$
Uncertainty type A	0,03
External Magnetic field	0,10
Shunt resistor	0,03
Stray capacitances	0,01
Magnetizing impedance	0,00
Electronic amplifiers	0,02
Multimeters	0,03
Combined unc. $k=2$	0,23

# Transformadores patrones

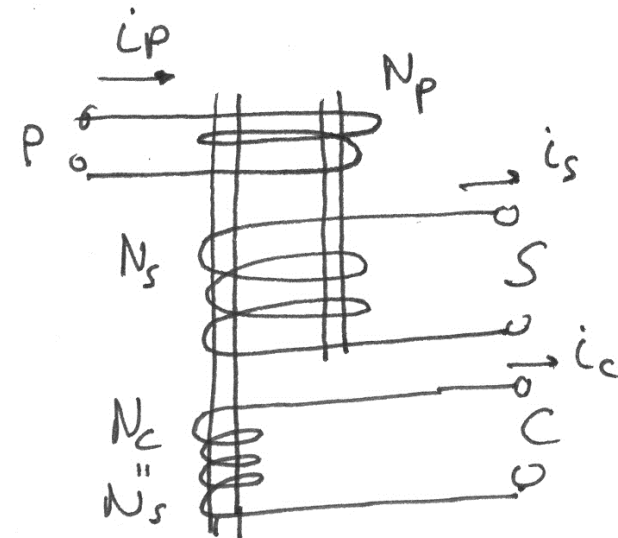
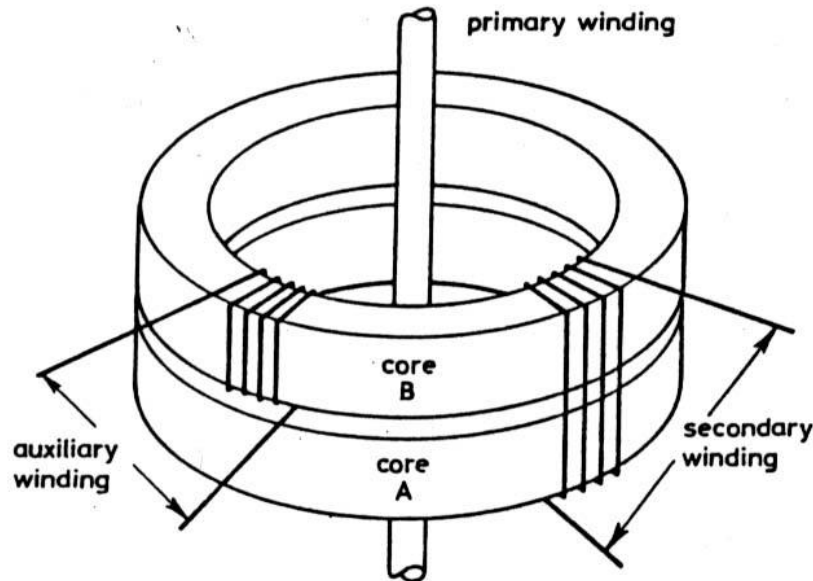
- Rangos de corriente
- Clase de precisión
- Potencia de precisión



- Relación de transformación: 5 . . . 1200 / 5 A
- Exactitud:  $\pm 0,005\%$   $\pm 0,5'$  para corriente comprendida entre el 1 % y el 120 % de  $I_n$
- Carga sobre el bobinado principal: 5 VA (Bornes S)

# Two-stage standard transformer

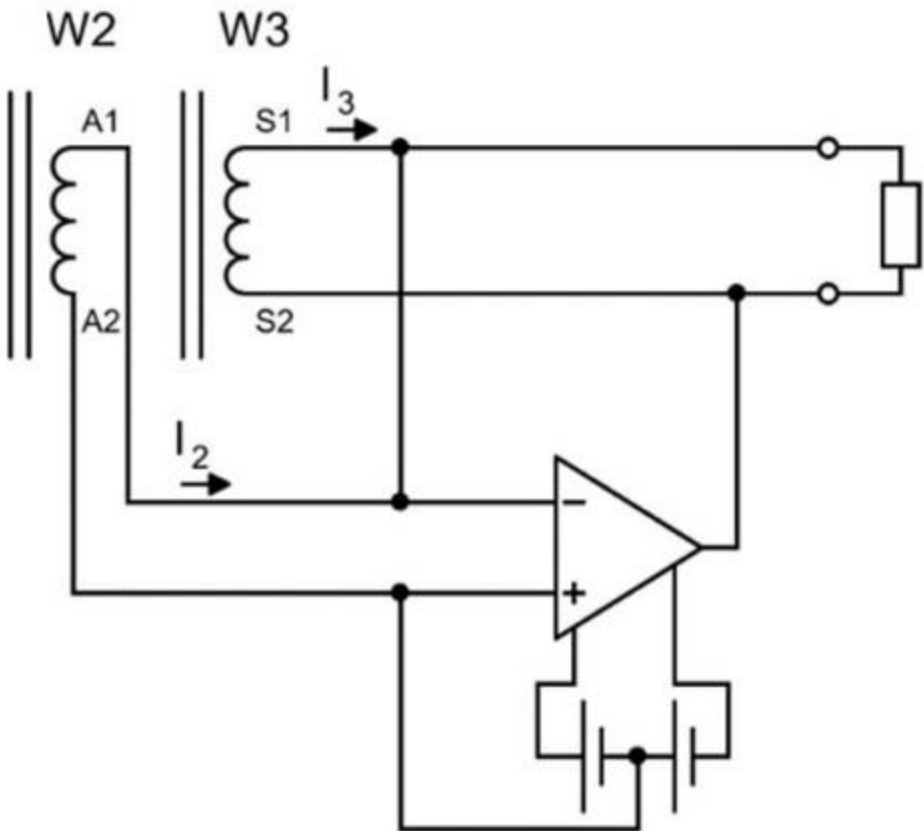
(Betts, 1983)



$$N_S i_C = N_P i_P - N_S i_S$$

- Errors lower than  $10 \mu\text{A}/\text{A}$  and  $10 \mu\text{rad}$  can be achieved.
- Using only one stage, errors increase up to  $350 \mu\text{A}/\text{A}$  and  $500 \mu\text{rad}$ .

# Transformador doble etapa



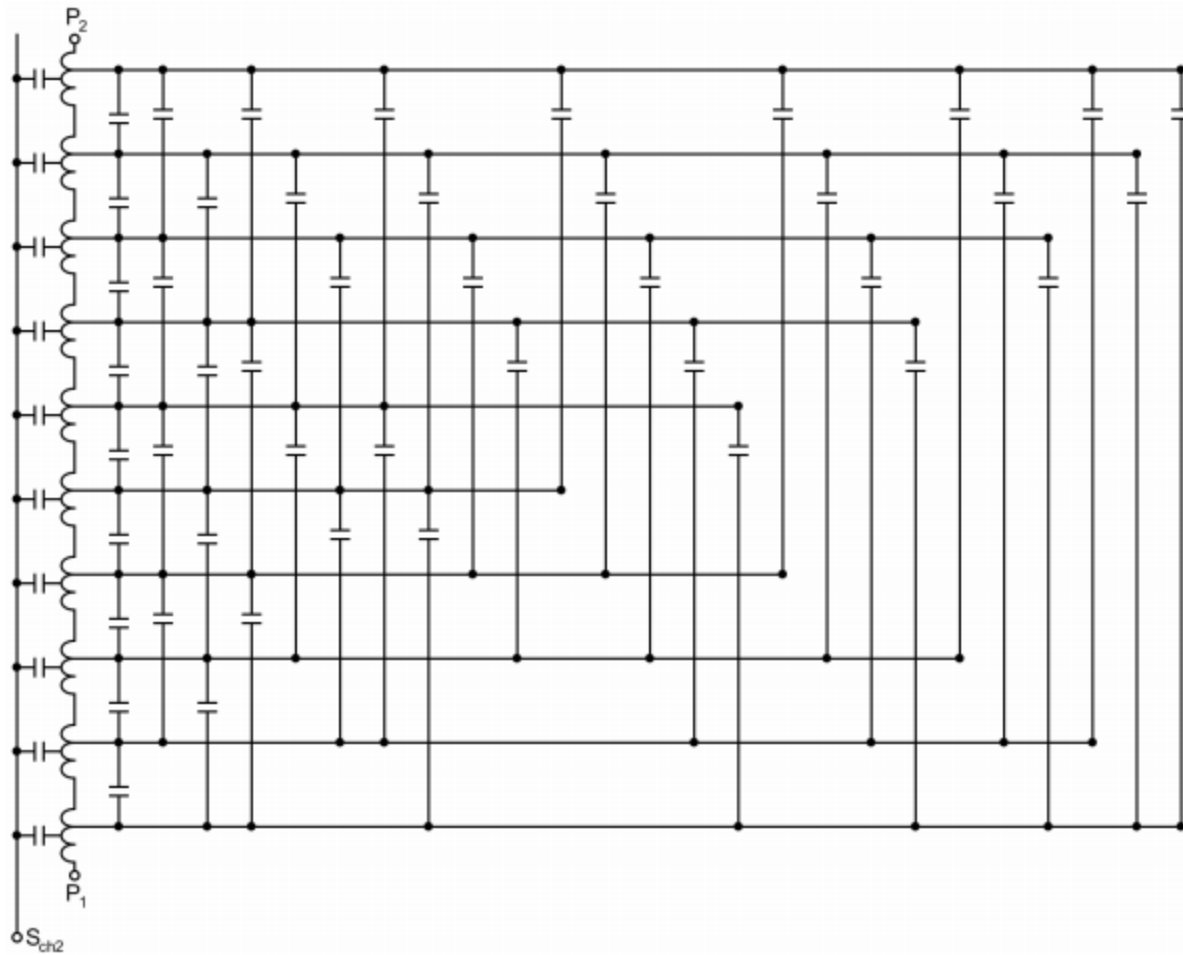
Sumador electrónico de corriente de compensación.

$I_3$ : corriente secundaria

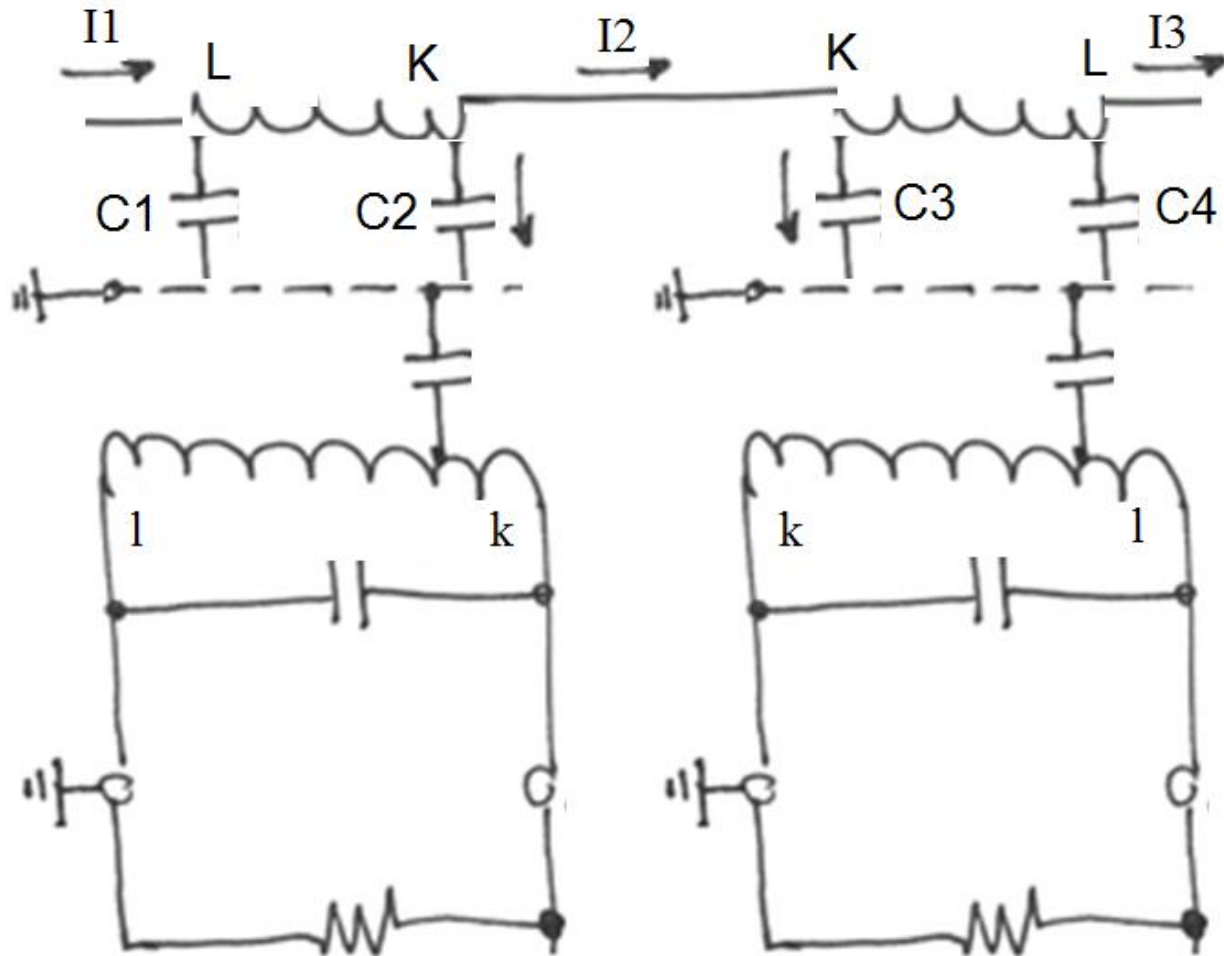
$I_2$ : corriente de compensación.

D. Slomovitz, A. Santos, R. Sandler and G. Barreto, "High-Precision Self-Calibrating Current Transformer With Stray Capacitances Control," in *IEEE Transactions on Instrumentation and Measurement*, vol. 70, pp. 1-9, 2021

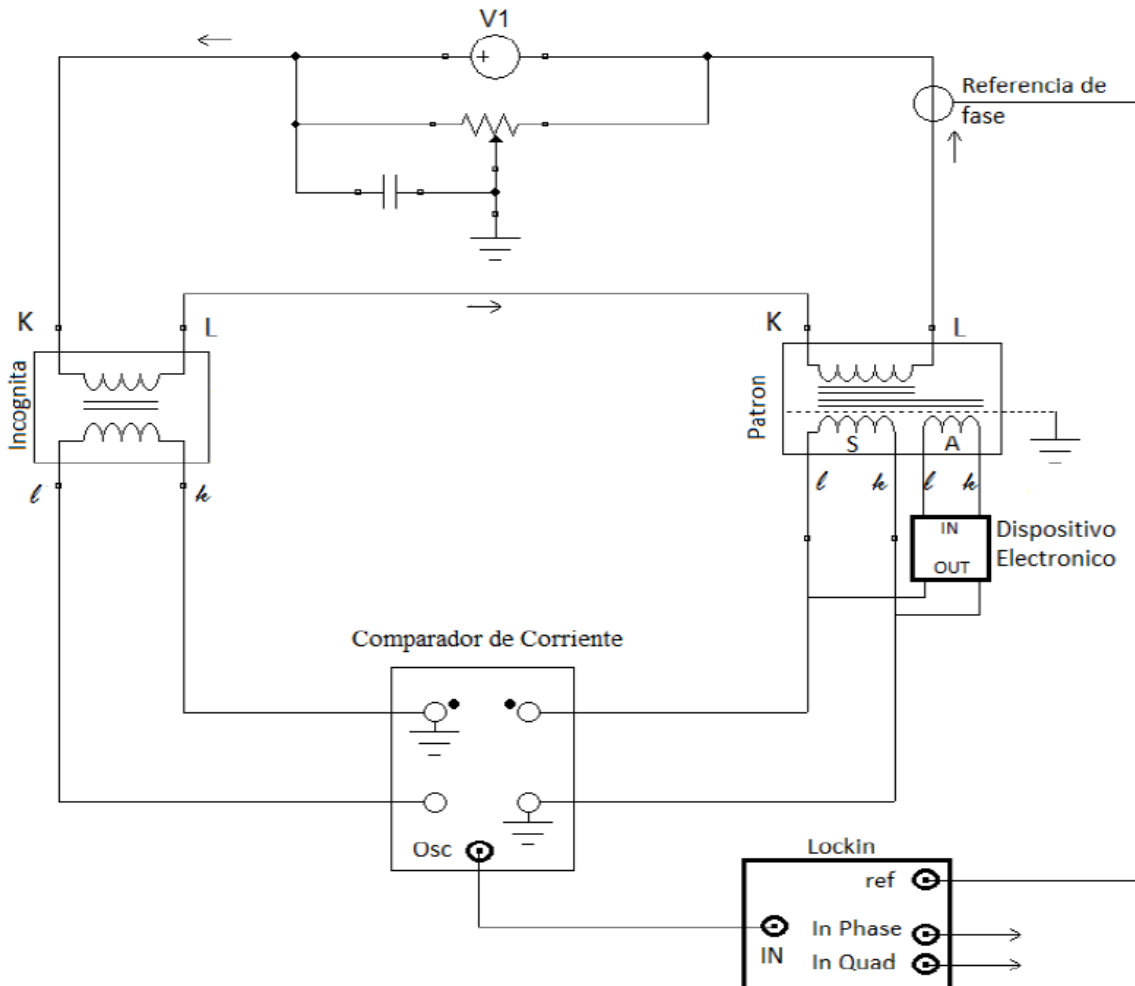
# Capacidades parásitas



# Capacidades parásitas



# Tierra de Wagner



Fin